



IRANIAN SOCIETY of  
CRYSTALLOGRAPHY  
and MINERALOGY

IRANIAN JOURNAL of  
CRYSTALLOGRAPHY  
and MINERALOGY

Vol. 11, No. 2, 1382/2003 Fall

## Geochemistry and Mineralogy of Qopi Bauxitized Horizon in west of Miandoab, West-Azarbaidjan, Iran

A.A. Calagari<sup>1,2</sup>, A. Abedini<sup>1</sup>, M. Moazzen<sup>1,2</sup>

1- Department of Geology, Natural Science Faculty, Tabriz Univ., Tabriz 51664, Iran.

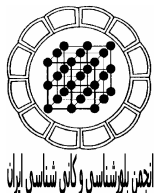
E-mail: [calagari@tabrizu.ac.ir](mailto:calagari@tabrizu.ac.ir)

2- Research Institute for Fundamental Sciences (RIFS), Tabriz 51664, Iran.

(received: 16/6/2003, received in revised form: 18/10/2003)

**Abstract:** The Qopi bauxitic horizon is located west of Miandoab, in West-Azarbaidjan province, NW of Iran. It lies along the boundary of Ruteh (middle-upper Permian) and Elika (lower Triassic) Formations. This horizon includes four distinct lithologic facies such as (1) bauxitic iron ore, (2) ferruginous bauxite, (3) Fe-rich bauxite, and (4) Fe-rich clayey bauxite. Microscopic examinations showed various textures including pelitomorphic, fluidal, colloform, pseudo-breccia, and pseudo-porphyry within the horizon, suggesting an authigenic origin. Based upon field evidence and geochemical data, the fine-grained diabase in the area may be the probable parent rock from which the bauxite layers developed. The results of calculations of mass changes showed that elements such as Na, K, Mg, P, Si, and Ca were depleted, and Fe, Al, and Ti were enriched during bauxitization processes. According to field observations, microscopic examinations, and geochemical investigations, Eh variations (from reducing to oxidizing) and suitable pH (6-8) of descending meteoric waters were the prime factors controlling the formation of Qopi bauxite layers. In addition, the enrichment pattern of immobile elements and field evidence indicate that the Qopi bauxitic horizon may be classified as Mediterranean karst bauxite.

**Keywords:** Bauxite geochemistry, Pelitomorphic texture, Bauxitization process, Mediterranean karst bauxite, Immobile elements.



## زمین‌شیمی و کانی‌شناسی افق بوکسیتی قپی (غرب میاندوآب – آذربایجان غربی)

علی اصغر کلاگری<sup>۱</sup>، علی عابدینی<sup>۱</sup>، محسن مؤذن<sup>۲</sup>

۱- گروه زمین‌شناسی دانشگاه تبریز، کد پستی ۵۱۶۶۴ ، تبریز.

۲- مؤسسه تحقیقاتی علوم پایه، تبریز، کد پستی ۵۱۶۶۴ ، تبریز.

(دریافت مقاله 1382/3/26 ، دریافت نسخه نهایی 1382/7/26)

**چکیده:** افق بوکسیتی قپی، واقع در غرب میاندوآب استان آذربایجان غربی، در مرز بین سازندگان روته و الیکا واقع شده است. این افق شامل چهار رخساره سنگی مجزاست که عبارتند از: ۱) کانسنگ آهن بوکسیتی، ۲) بوکسیت آهندار، ۳) بوکسیت غنی از آهن و ۴) بوکسیت رسی غنی از آهن. مطالعات میکروسکوپی، بافت‌های پلیتومورفیک، جریانی، کلوفرمی، برشی دروغین، و پورفیری دروغین را در این افق نشان داد که می‌تواند حاکی از یک ژنر بر جازا باشد. با توجه به شواهد صحرایی و داده‌های زمین‌شیمیایی می‌توان سنگ‌های دیابازی موجود در منطقه را محتمل‌ترین سنگ مادر لایه‌های بوکسیتی در نظر گرفت. نتایج بدست آمده از محاسبات تغییر جرم نشان می‌دهند که عناصر Ca, Si, Mg, K, Na و P در طول فرایندهای بوکسیتی شدن از محیط خارج شده و عناصر Fe, Al و Ti غنی شده‌اند. با توجه به مطالعات صحرایی، میکروسکوپی، و زمین‌شیمیایی، عوامل اصلی تشکیل لایه‌های بوکسیت قبی تغییرات Eh (از احیاء به اکسیدان) و PH مناسب (6 تا 8)، آبهای فرورو هستند. بعلاوه بررسی الگوی غنی‌شدگی عناصر بی‌تحرک نشان می‌دهد که بوکسیت قبی در رده بوکسیتهای کارستی مدیترانه‌ای قرار می‌گیرد.

**واژه‌های کلیدی:** زمین‌شیمی بوکسیت، بافت پلیتومورفیک، فرایند بوکسیت‌زایی، بوکسیت کارستی مدیترانه‌ای، عناصر بی‌تحرک.

#### مقدمه

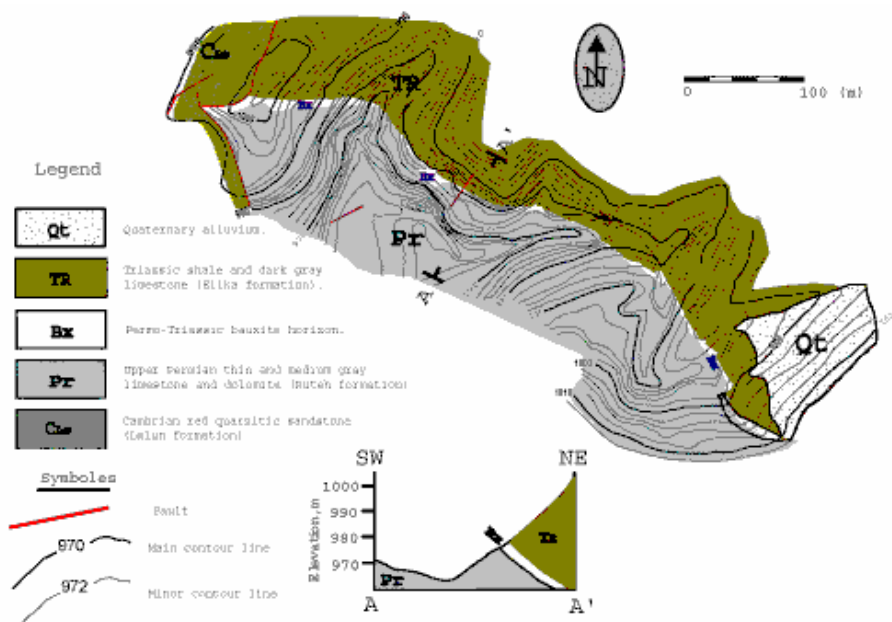
نهشته بوکسیتی قپی میاندوآب بخشی از ایالت کوچک بوکسیتی جنوب استان آذربایجان غربی است. افق بوکسیتی قپی در 22 کیلومتری شهرستان میاندوآب و 100 کیلومتری جنوب شرق شهرستان ارومیه در محدوده‌ای با طول جغرافیایی  $53^{\circ} 45'$  تا  $57^{\circ} 45'$  شرقی و عرض جغرافیایی  $36^{\circ} 36'$  تا  $38^{\circ} 58'$  شمالی قرار دارد. حدود 75 نمونه سنگی برای بررسی افق بوکسیتی و سنگهای بستر و پوشش آن، و نیز سنگهایی که احتمالاً از نظر ژنتیکی مرتبط با این نهشته هستند، برداشت شدند. جهت بررسی‌های کانی‌شناسی، سنگ‌شناسی، و زمین‌شیمیایی، تعداد 46 مقطع نازک و صیقلی به همراه 26 نمونه آنالیز شیمیایی دستگاهی (فلوئورسانی پرتو XRF) و شیمیایی تر مورد استفاده قرار گرفتند. با توجه به ریزبلوربودن کانیهای سازنده بوکسیت برای شناسایی کانیها، برای هشت نمونه از روش پراش پرتو X (XRD) نیز استفاده شد.

#### مطالعات صحرایی

بارزترین واحدهای سنگی موجود در منطقه مورد مطالعه به ترتیب از قدیم به جدید، از سازندهای کربناتی-شیلی میلا، ماسه سنگی درود، کربناتی روته، شیلی-کربناتی-آتشفسانی کرتاسه و نهشته‌های دوران چهارم تشکیل شده‌اند. در مرز بین سازندهای درود و میلا یک نوار آذرین ساب‌آتشفسانی با ترکیب دیابازی با ضخامت تقریبی 30 متر قابل تشخیص است. افق بوکسیتی قپی با امتداد کلی NW-SE به شکل لایه‌ای در مرز بین سازندهای روته و الیکا به صورت هم شیب با شیب  $43^{\circ}$ - $30^{\circ}$  قرار دارد (شکل 1) [1].

در محدوده مورد مطالعه، با توجه به رنگ و مشخصات ظاهری، پنج لایه مجزای بوکسیت تشخیص داده شدند که به ترتیب از پائین به بالا عبارتند از: (1) کلوئیدی (CB)، (2) قرمz (RB)، (3) پلیتومورفیک (PB)، (4) قرمz قهقهه‌ای (BRB) و (5) کرم مایل به سبز (GCB). وجود مرز کاملاً مشخص بین اغلب لایه‌های بوکسیتی موجود (جز بوکسیت کلوئیدی با بوکسیت سرخ) نشان می‌دهد که تبدیل این افق‌ها به هم علاوه بر تغییر شرایط زمین‌شیمیایی و کانی‌شناخانی، ناشی از تغییر وضعیت رسوبگذاری است. وجود رنگهای سرخ، سرخ قهقهه‌ای، کرم و کرم مایل به سبز در لایه‌های بوکسیتی، دلالت بر وجود شرایط متفاوت اکسایش و احیاء در حین تشکیل این نهشته

دارد. عدم وجود الگوهای چند رنگی در سطح لایه‌های بوکسیتی نشان می‌دهد که انحلال و آبشویی هماهنگ از شدت بالایی برخوردار بوده و شرایط زمین شیمیایی یکسانی در تشکیل خود لایه‌ها ضمن فرایندهای بوکسیت‌زایی وجود داشته است [1].



شکل ۱ نقشه زمین‌شناسی منطقه مورد مطالعه [1]

#### مطالعات سنگ‌شناسی و کانی‌شناسی

به دلیل ریزبودن کانیهای سازنده بوکسیت، مطالعات سنگ‌شناسی تنها به منظور بررسی بافت‌های موجود در نمونه‌ها صورت گرفت و برای شناسایی کانیهای تشکیل دهنده از روش XRD استفاده شد. نتایج XRD وجود کانیهای دیاپور، هماتیت، پیروفیلیت، روتیل، آناتاز، موسکویت، کوارتز، کائولینیت، سودوروتیل، کالیوفیلیت، و ایندریت را در افک‌های بوکسیتی مشخص کرده است. مطالعات میکروسکوپی نشان می‌دهد که لایه‌های بوکسیتی حاوی بافت‌های پلیتومورفیک، کلوفرمی، جربانی، برشی دروغین و پورفیری دروغین بوده که می‌توانند حاکی از نحوه تشکیل برجازای آن [2] در روند غنی‌شدگی نهشته‌های از کانیهای آلومینیوم و آهن دار باشند. بافت‌های کلوفرمی و

برشی دروغین به بوكسیت‌های کلوریدی، قرمز و قرمز قهوه‌ای و بافت‌های پلیتومورفیک، جریانی و پورفیری دروغین به بوكسیت‌های کرم مایل به سبز و پلیتومورفیک مربوط می‌شوند. وجود بافت‌های کلوفرمی و پلیتومورفیک (آفانیتیک) در این لایه‌ها می‌تواند مبین بوكسیتی شدن غیرمستقیم (indirected bauxitization) سنگ مادر باشد. یعنی پیش از تشکیل بوكسیت قپی، به دلیل عدم وجود سرعت کافی در خروج سیلیس حل شده احتمالاً یک مرحله تشکیل کائولینیت وجود داشته است [3]. عدم تشکیل کنکرسیونهای پیزوئیدی و ائوئیدی در این نهشته ممکن است در اثر همگن بودن کلورید اولیه حاصل از هوازدگی سنگ مادر باشد. تنها کانی قابل تشخیص در مقاطع میکروسکوپی، کانی هماتیت است که معمولاً حاوی شکاف‌های نامنظم و یا شعاعی بوده و اغلب سطح خارجی آن به وسیله فیلمی با ترکیب نامشخص پوشیده شده است. این شکاف‌ها احتمالاً در اثر تراکم ژل حاصل شده [4] و پوشش‌های ثانویه ممکن است در طی فرایند دیاژنزی انتهایی و یا به صورت اپی‌ژنتیک در اطراف دانه‌های هماتیت بوجود آمده باشد که می‌تواند به نوبه خود دلیلی بر پرجازا بودن نهشته باشد [5].

برای بررسی افکهای مختلف بوکسیت قپی از نظر درجه تکامل کانیایی، از روش کانی‌شناسی نورماتیوباردوسی [4] استفاده شد. اساس چنین محاسباتی برای تعیین مقادیر فازهای کانیایی، بر فرضیات و ساده‌سازی‌هایی استوار است. بدین منظور نمونه‌هایی که فازهای کانیایی آنها به روش XRD مشخص شده بود، با استفاده از روش XRF برای تعیین مقدار اکسیدهای اصلی، فرعی و مواد فرار (LOI) آنالیز شدند. سپس کدهایی برای کانیهای سازنده، به صورتی که در ستون اول جدول 1 نشان داده شده است، به عنوان حروف اختصاری انتخاب شدند. در این جدول، % مقدار سیلیس واکنشی است که در ترکیب با مقدار آلومینیوم مورد نیاز (A%) و مقدار مناسب مواد فرار (H%) کائولینیت، پیروفیلیت، موسکوویت، و کالیوفیلیت ساخته می‌شود. با توجه به نوع کانی‌ها در افکهای بوکسیتی، با قیماندۀ آلومینیوم با مقدار مناسب مواد فرار (H<sup>+</sup>, پیوست 1) ترکیب شده و دیاسپور را تشکیل می‌دهد. بدین منظور با استفاده از جدول 1 معادلات مربوط برای محاسبه نورم کانیها استخراج و مورد استفاده قرار گرفتند (پیوست 1).

میزان سیلیس ترکیبی ( $R.SiO_2$ ) از طریق درصد کانی رسی در بوکسیتهای کلوئیدی، سرخ، پلیتومورفیک، سرخ قهقهه‌ای، و کرم مایل به سبز مقدار کائولینیت به ترتیب برابر با ۴,۵, ۸,۴۶٪ درصد بوده‌اند. با در نظر گرفتن مقادیر یاد شده به عنوان درصد کائولینیت نمونه‌های بوکسیت قیپی، مقادیر  $R.SiO_2$  (S%) برای افقهای کلوئیدی ۲۸,۶۸٪، سرخ ۵,۹۷۹٪، پلیتومورفیک ۷,۲٪، سرخ قهقهه‌ای ۱۲,۵۶۵٪، و کرم مایل به سبز ۱۱,۴۵٪ بدست آمدند (جدول ۲).

**جدول 1** فرمول نرم. مقادیر %A ، %H ، %S ، %Q ، %Fe ، %Ti و حروف اختصاری کانیها از [6] و کانیها از [7] . اقتباس شده است.

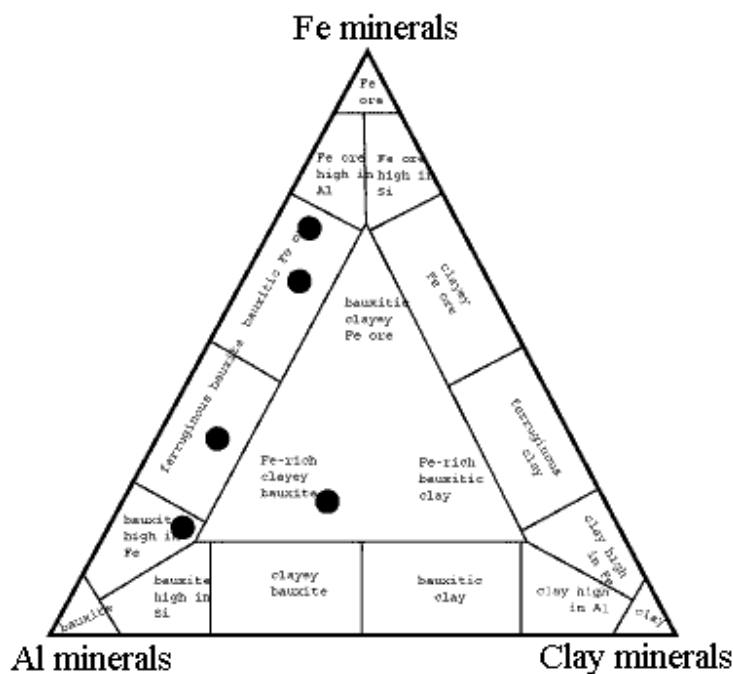
Code	نام کانی	%A = Al <sub>2</sub> O <sub>3</sub>	%H = LOI	%S = R. SiO <sub>2</sub>	%Q = F. SiO <sub>2</sub>	%Fe = Fe <sub>2</sub> O <sub>3</sub>	%Ti = TiO <sub>2</sub>
KLN	Kaolinite	39,50	14,0	46,50	-	-	-
DSP	Diaspore	85,00	15,0	-	-	-	-
HEM	Hematite	-	-	-	-	100,00	-
QTZ	Quartz	-	-	-	100,00	-	-
RT	Rutile	-	-	-	-	-	100,00
ANT	Anatase	-	-	-	-	-	100,00
PRT	Pseudo-rutile	-	-	-	-	39,99	60,01
PRL	Pyrophyllite	28,30	5,00	66,70	-	-	-
MS	Muscovite	38,40	4,52	45,26	-	-	-
KPT	Kaliophyllite	32,23	-	38,00	-	-	-

**جدول 2** درصد کانی های نمونه های بوکسیت قپی بر اساس محاسبات نورماتیو، اقتباس از [3].

Code	نام کانی	CB	RB	PB	BRB	GCB
KLN	Kaolinite	8,46	4	5	4	8,5
DSP	Diaspore	17,71	34,41	39,71	25,25	36,75
ANH	Anhydrite	-	-	-	0,21	-
HEM	Hematite	59,61	25,13	7,73	50,17	13,19
QTZ	Quartz	10,59	29,25	31,79	13,02	27,05
RT	Rutile	2,44	2,77	-	-	-
ANT	Anatase	-	-	2,75	-	4,71
PRT	Pseudo-rutile	-	-	-	4,27	-

<b>PRL</b>	Pyrophyllite	-	2,79	-	-	6,48
<b>MS</b>	Muscovite	-	-	5,30	-	-
<b>KPT</b>	Kaliophyllite	-	-	4,30	-	-
<b>SUM</b>	-	98,80	98,34	79,59	96,93	96,78

وجود مقادیر متفاوت کانیهای هماتیت، دیاسپور و کوارتز در افقهای مختلف بوکسیت قپی در جدول 2 نشان دهنده تأثیر شدید فرآیندهای سوپرژن در تشکیل این افقهاست. در بخشهای نسبتاً احیایی (PB, GCB) از این نهشته، کانی هماتیت کمتری وجود دارد، اما کوارتز در آنها بیشتر از بخشهای شدیداً اکسیدان مجاورند (BRB,CB). این مسئله با انحلال آهن ( $\text{Fe}^{+2}$ ) در شرایط نسبتاً احیا و رسوب  $\text{SiO}_2$  از اسید سیلیسیک در محلول قابل توضیح است [2]. نهایتاً با استفاده از نمودار سه متغیره کانیهای آهن‌دار، آلومینیبوم و رس‌دار [8] در شکل 2 معلوم شد که نمونه‌های بوکسیت قپی از نظر درجه تکامل کانیایی شامل چهار نوع رخساره سنگی مجزا از قبیل: (1) کانسنگ آهن بوکسیتی، (2) بوکسیت آهندار، (3) بوکسیت غنی از آهن و (4) بوکسیت رسی غنی از آهن هستند.



شکل 2 موقعیت افق‌های بوکسیتی قپی در طبقه‌بندی سنگ شناختی والیتون [8].

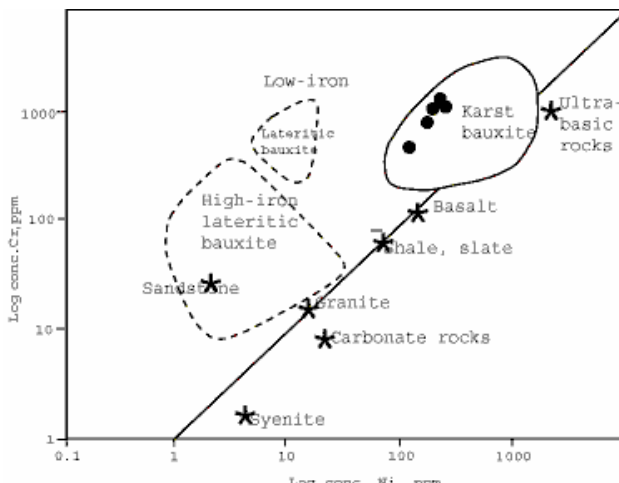
### سنگ مادر

برای تعیین سنگ مادر این نهشتة، از نمودارهای مختلف زمین شیمیایی استفاده شد. بکارگیری نمودار دو متغیره Ni, Cr [9] در شکل 3 نشان می‌دهد که افق بوکسیتی مورد مطالعه از نوع بوکسیت کارستی بوده و محل تمرکز نمونه‌ها از نظر سنگ مادر نزدیک به محل سنگی با ترکیب بازالت است. مقایسه مقادیر Zr,Cr و Ga با Zr,Cr,Ga [10] به صورت شکل 4 نشان می‌دهد که سنگ مادر لایه‌های بوکسیتی قپی با بوکسیتهای کارستی مدیترانه‌ای و لاتریتی ارکانزاس (جدول 3) و ترسیم آنها در نمودار سه متغیره Cr, Zr, Ga به بازیک (مافیک) قرار می‌گیرد.

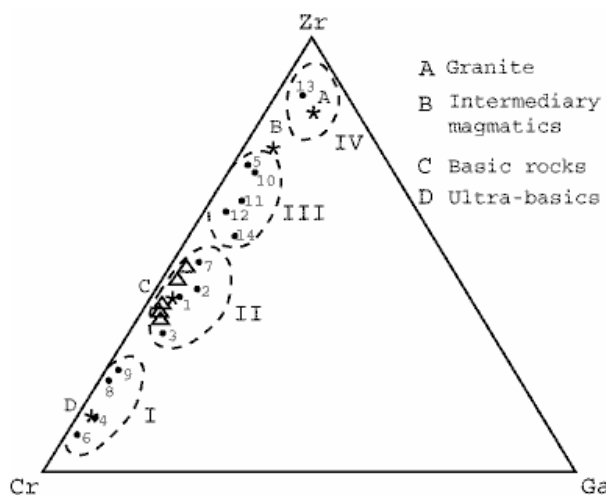
روش زمین شیمیایی دیگری نیز برای تعیین سنگ مادر از طریق تعیین ضریب انبارش عناصر کمیاب (Zn, Ga, Mn, Zr, V, Cr, Ni, Cu) در افقهای بوکسیتی با استفاده از فرمول زیر [11] صورت گرفته است:

$$R = \frac{1}{n} \sum_{i=1}^n \frac{k_i}{k_l}$$

که در آن،  $R$  ضریب انبارش عناصر کمیاب،  $N$  تعداد عناصر کمیاب مورد استفاده،  $k_i$  مقدار متوسط عنصر کمیاب در لیتوسفر،  $K_l$  مقدار متوسط عنصر کمیاب در نمونه مورد نظر و  $i$  عنصر کمیاب معین است. مقادیر محاسبه شده  $R$  در نمونه‌های بوکسیت قپی با مقادیر مشابه در بوکسیت‌های کارستی مدیترانه‌ای و لاتریتی ارکانزاس قابل مقایسه‌اند (جدول 4). از آنجا که مقادیر محاسبه شده  $R$  به تنهایی نمی‌توانند خصوصیات سنگ شناسی سنگ مادر بوکسیت‌های کارستی را تعیین کنند، لذا باید آنها را نسبت به مقدار کروم (Cr)، که از نظر ژنتیکی یک عنصر کم و بیش پایدار است [10]، بهنجار کرد (شکل 5). براین اساس، بوکسیت‌های کلئیدی، سرخ و پلیتومورفیک در محدوده مشترک اثر سنگهای مادر اولترافیک و مافیک و بوکسیت‌های سرخ قهوه‌ای و کرم مایل به سبز در محدوده اثر سنگهای مادر مافیک قرار می‌گیرند. از مقایسه میانگین مقدار  $\bar{R}$  بوکسیت قپی با سایر ذخایر بوکسیتی دنیا در جدول 4 و نیز مقایسه محدوده قرارگیری در نمودار سه متغیره  $\text{Cr}$  و  $\text{Zr}$  و  $\text{Ga}$  در شکل 4، به همراه نمودار دو متغیره  $R\text{-Cr}$  در شکل 5 مشخص می‌شود که افقهای بوکسیتی قپی شباهت زیادی با کانسارهای بوکسیت مدیترانه‌ای Obrovac یوگسلاوی، و ذخایر Ariège، و جنوب شرق فرانسه دارد.



شکل ۳ موقعیت بوکسیت‌های کارستی و لاتریتی و سنگ مادرهای مختلف آنها بر اساس نسبت Cr/Ni [9]. دایره‌های توپر نمونه‌های بوکسیت قپی و ستاره‌ها سنگهای مادر مختلف را نشان می‌دهند.



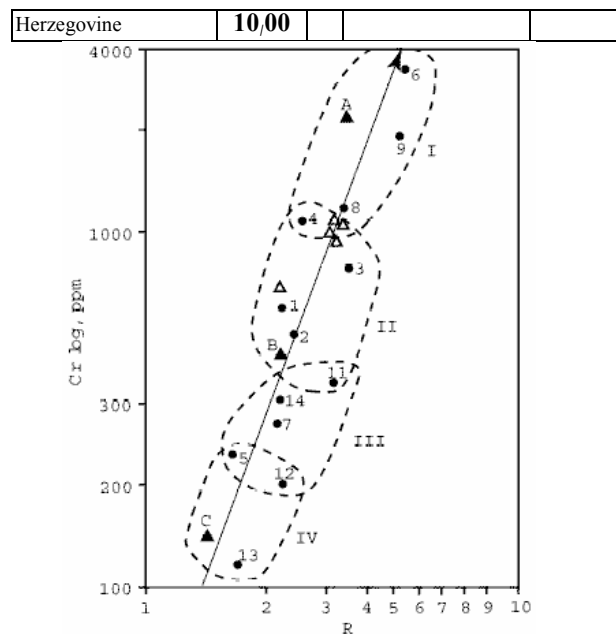
شکل ۴ محل نمونه‌های بوکسیت قپی (مثلثهای توخالی) و مقایسه آن با بوکسیت‌های کارستی مدیترانه‌ای و بوکسیت لاتریتی ارکانزاس بر اساس مقادیر Ga, Cr, Zr آنها [10] به ترتیب بیانگر مناطق اثر سنگهای مادر الترامافیک، مافیک، حد واسط و اسیدی هستند. A, B, C, D (ستاره‌ها) به ترتیب مربوط به مقادیر عناصر Ga, Cr, Zr, در سنگهای ماغمایی اسیدی، حد واسط، مافیک و الترامافیک می‌باشند. اعداد ۱ تا ۱۴ مربوط به ذخایر بوکسیتی مختلف در دنیا هستند که در جدول ۳ آورده شده‌اند.

**جدول 3** مقدادیر Zr, Cr, Ga کانسارهای بوکسیت کارستی مدیترانه‌ای (ارکانزاس بوکسیت کارستی نیست و فقط برای مقایسه آورده شده است) و نمونه‌های بوکسیت قپی [1].

موقعیت	Zr, ppm	Ga, ppm	Cr, ppm
1) Ariege (France)	367	63	530
2) SE France	389	61	485
3) Herzegovine (Yugoslavie)	380	40	740
4) Obrovac (Yugoslavie)	140	20	900
5) Bosnie	714	46	280
6) Kosova	285	20	3500
7) Parnasse I (Jurassic) (Greece)	314	40	323
8) Parnasse II (Cretaceous) (Greece)	276	32	991
9) Mandra II (Greece)	590	30	2000
10) Tran (Bulgarie)	200	15	75
11) Padura Graiului (Romania)	820	43	430
12) Gant, Halimbia (Hongrie)	400	40	250
13) Arkansas (USA)	1300	86	110
14) Akseki- seydisehir (Turkey)	520	68	365
15) CB- Qopi (Iran)	479	38	976
16) RB- Qopi (Iran)	516	40	1143
17) PB- Qopi (Iran)	589	33	1212
18) BRB- Qopi (Iran)	515	32	982
19) GCB- Qopi (Iran)	563	37	573

**جدول 4** مقدادیر ضرایب انباشتگی عناصر کمیاب نمونه های بوکسیتی نهشته قپی و مقایسه آنها با ضرایب انباشتگی کانسارهای بوکسیت کارستی مدیترانه‌ای و لاتریتی ارکانزاس [10].

مناطق بوکسیتی	R	مناطق بوکسیتی	R
Arkansas (USA)	<b>1,91</b>	Parnasse II	<b>3,58</b>
Bosnie	<b>1,73</b>	Padurea Graiului	<b>3,63</b>
Parnasse I	<b>2,27</b>	Kosova	<b>4,54</b>
Ariege	<b>2,32</b>	Mandra II	<b>5,72</b>
Akseki- seydisehir	<b>2,44</b>	CB- Qopi (Iran)	<b>2,81</b>
Obrovac	<b>2,55</b>	RB- Qopi (Iran)	<b>3,11</b>
Istrie (Yugoslavie)	<b>2,84</b>	PB- Qopi (Iran)	<b>3,09</b>
SE France	<b>2,50</b>	BRB- Qopi (Iran)	<b>3,02</b>
Gant, Halimbia	<b>3,00</b>	GCB- Qopi (Iran)	<b>2,11</b>



شکل ۵ تغییرات ضریب انباشتگی (R) عناصر کمیاب در نمونه‌های بوکسیت قپی (مثلث‌های تو خالی) و مقایسه آن با بوکسیت‌های کارستی مدیترانه‌ای و لاتریتی ارکانزاس به عنوان تابعی از عنصر Cr [10]. A، B، C، D، E به ترتیب بیانگر مناطق اثر سنگهای مادر الترامافیک، مافیک، حد واسطه و اسیدی هستند. A، B، C (مثلث‌های توپر) به ترتیب مربوط به لاتریت‌های حاصل از آمفیبولیت، بازالت و گرانیت هستند. برای توضیح اعداد به شکل ۴ مراجعه کنید.

بر اساس شواهد صحرایی با توجه به شکل‌های ۳، ۴ و ۵ (که نوع سنگ مادر احتمالی را مشخص می‌کنند) سنگهای دیابازی موجود در منطقه را می‌توان محتمل‌ترین سنگ مادر نهشته در قپی در نظر گرفت. برای تعیین صحت و سقم این مسئله از روش زمین شیمیایی والیتون و همکاران [12] استفاده شده است. این روش براساس ترسیم نمودارهای دو متغیره دو عنصر بی‌تحرک در طول فرایندهای هوازدگی استوار است. در اینبارش بازماندهای کانسنگهای بوکسیت، Al بیشتر یک عنصر بی‌تحرک (در محدوده pH ۵ تا ۹) شناخته می‌شود [13]. برای تعیین عناصر بی‌تحرک در این نهشته، از ضریب همبستگی خطی بین عناصر استفاده شد [14]، که نتیجه در جدول ۵ نشان داده شده است. عناصر Zr، Ti و Nb که ضرایب همبستگی بالای (R>0.9) ۹۰٪ را با عنصر آلومینیوم

نشان می‌دهند (جدول 5) به عنوان عناصر بی‌تحرک مشخص شده‌اند. نمودارهای دو متغیره عناصر بی‌تحرک Al-Zr, Al-Ti, Al-Nb, Al-Zr, Ti-Zr و Nb-Zr نشان می‌دهند که لایه‌های هوازده در طول فرایندهای بوکسیت زایی متحمل تغییر جرم شده و نسبت Zr/Al, Zr/Ti, Zr/Nb, Al/Ti, Nb/Al در سنگ دیاباز منطقه همانند نسبتهای مشابه در نمونه‌های بوکسیتی هستند و به همین جهت سنگ دیاباز روی خط روند هوازدگی قرار می‌گیرد (شکل 6). از اینرو خاستگاه نهشتة بوکسیتی مرتبط با سنگ‌های دیابازی منطقه در نظر گرفته شده است.

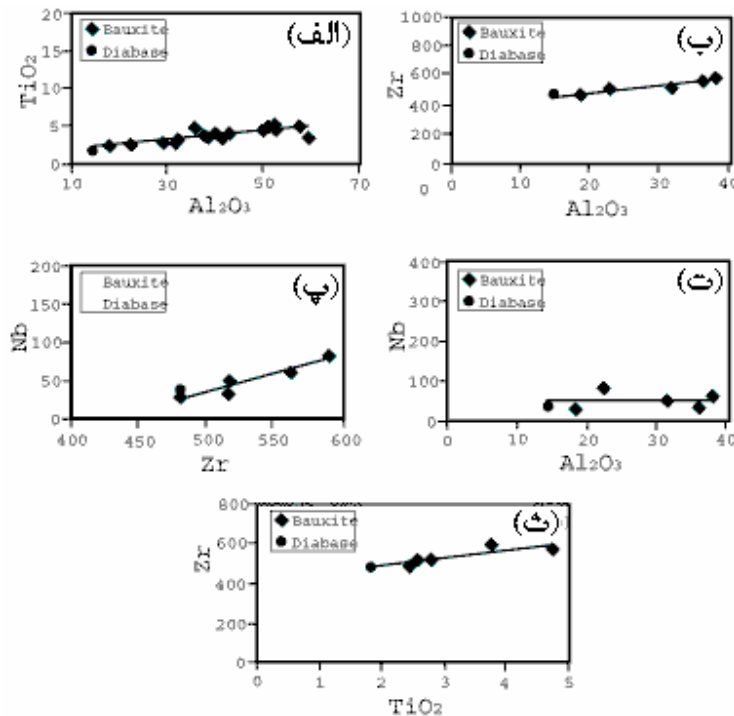
#### محاسبات تغییر جرم عناصر

با توجه به برخازابودن نهشتة بوکسیتی قپی، برای دستیابی به فرآیندهای زمین‌شیمیایی دخیل در تشکیل آن، از روش زمین‌شیمی محاسبات تغییر جرم [16] که برمبنای (1) عنصر شاخص بی‌تحرک، (2) عامل غنی شدگی، (3) ترکیب بازسازی شده و (4) تغییر جرم عناصر استوار است، استفاده شده است، که هر مورد در ادامه بررسی می‌شود.

**1-عنصر شاخص بی‌تحرک:** برای محاسبه تغییر جرم عناصر، لازم است عنصری را که تغییرات شیمیایی و فعالیتهای زمین‌شیمیایی اندکی دارد و در طول فرایندهای هوازدگی و دگرسانی بی‌تحرک می‌ماند، انتخاب و تغییرات عناصر دیگر را نسبت به این عنصر محاسبه کرد [17]. با اعتقاد بر اینکه سنگ‌های دیابازی، سنگ مادر تشکیل دهنده لایه‌های بوکسیتی است، فراوانی عنصر Zr در آن به عنوان مبنای محاسباتی انتخاب شد.

جدول 5 ضریب همبستگی خطی عناصر در بوکسیت قپی [14].

	Al	V	Ti	Cr	Fe	Ni	Y	Zr	Nb	Th	Ba
Al	1,000										
V	0,371	1,000									
Ti	0,909	0,103	1,000								
Cr	0,532	0,925	0,267	1,000							
Fe	-0,783	0,443	-0,609	0,216	1,000						
Ni	0,432	0,973	0,240	0,900	0,326	1,000					
Y	-0,420	0,463	-0,523	0,185	0,789	0,394	1,000				
Zr	0,930	0,267	0,860	0,410	-0,660	0,401	-0,664	1,000			
Nb	0,876	0,058	0,739	-0,520	0,813	-0,029	-0,724	0,932	1,000		
Th	0,226	0,891	0,084	0,891	0,500	0,870	0,164	0,211	0,080	1,000	
Ba	0,516	0,111	0,052	0,052	-0,330	0,051	-0,337	-0,691	0,478	-0,022	1,000



شکل 6 نمودارهای همبستگی، (الف) Al<sub>2</sub>O<sub>3</sub>-Nb، (ب) Al<sub>2</sub>O<sub>3</sub>-Zr، (پ) Al<sub>2</sub>O<sub>3</sub>-TiO<sub>2</sub>، (ت) Zr-Nb، (ث) Zr-Nb نمونه های بوکسیتی و سنگ دیاباز [15]. خط پیوسته حاصل از درون یابی بهترین خط روند هوازدگی است.

2- تعیین عامل غنی شدگی: پس از بهنجارسازی داده های زمین شیمیایی براساس مواد فرار (LOI)، عامل غنی شدگی براساس مقدار Zr در سنگ دیاباز و لایه های بوکسیت از معادله زیر برای هر یک از لایه ها محاسبه شد [16]، به این ترتیب که:

$$\text{E.F.} = \frac{\text{فراوانی Zr در سنگ هوازده (بوکسیت)}}{\text{فراوانی Zr در سنگ دیاباز}}$$

3- تعیین ترکیب بازسازی شده: با استفاده از عامل غنی‌شدگی، ترکیب بازسازی شده از رابطه زیر برای هر عنصر محاسبه می‌شود [16] :

$$\text{فراوانی عنصر در بوکسیت} = \text{E.F.} \times \text{درصد وزنی}$$

4- تعیین تغییر جرم عناصر: مقادیر تغییر جرم عناصر از رابطه زیر محاسبه شد [16] :

$$\text{فراوانی عنصر در سنگ مادر} = \text{R.C.} - \text{M.C.}$$

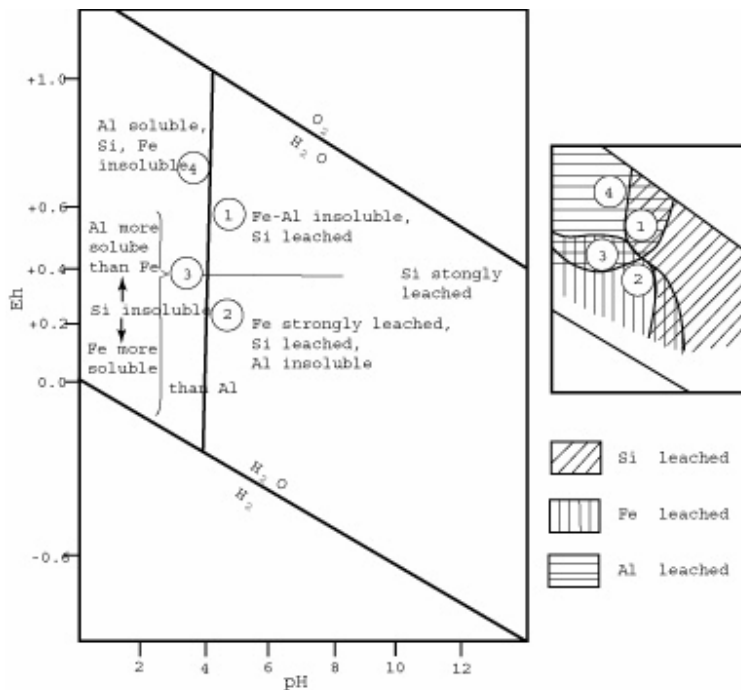
نتایج بدست آمده از محاسبات تغییر جرم عناصر در لایه‌های مختلف بوکسیت قپی در جدول 6 نشان می‌دهند که در افقهای بوکسیت کلورئیدی و سرخ قهقهه‌ای، مقدار اکسید آهن به مقدار خیلی زیاد و در افق بوکسیت سرخ به مقدار ناچیز افزایش یافته است. در افقهای بوکسیت پلیتومورفیک و کرم مایل به سبز خروج Fe مشاهده می‌شود و در تشکیل تمامی لایه‌ها کم‌و بیش افزایش Al و کاهش  $\text{SiO}_2$  وجود دارد. با توجه به مطالعات میکروسکوپی انجام شده وجود یک کلورئید غنی از آهن (سیدروژل) در تشکیل بوکسیت‌های سرخ قهقهه‌ای و کلورئیدی محتمل است. همچنین وجود یک کلورئید غنی از Al (آلوموژل) در تشکیل بوکسیت کرم مایل به سبز و پلیتومورفیک و یک کلورئید غنی از Al, Fe (آلوموسیدروژل) در تشکیل بوکسیت سرخ، همراه با خروج سایر عناصر متحرک از محیط قابل تصور است. نهایتاً با جمع جبری تغییر جرم عناصر برای هر یک از افقها مشخص شد که لایه‌های مختلف بوکسیتی کاهش جرمی در گستره ۰,01٪ تا ۳۰,۷۹٪ و میانگین ۱۷,۸۴٪ در طول فرآیندهای هوازدگی از خود نشان می‌دهند.

**جدول 6** تغییرات جرم عناصر در لایه‌های بوکسیتی بر اساس عنصر شاخص بی تحرک Zr

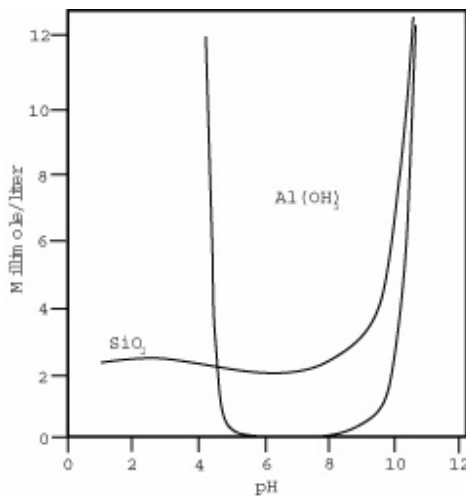
	CB	RB	PB	BRB	GCB
$\text{Al}_2\text{O}_3$	3,473	16,013	19,954	7,210	2,256
$\text{SiO}_2$	-30,566	-14,553	-15,273	-30,923	-13,133
$\text{Fe}_2\text{O}_3$	40,755	4,054	-13,786	30,502	-8,636
$\text{CaO}$	-6,817	-6,716	-6,868	-6,857	-6,565
$\text{Na}_2\text{O}$	-2,924	-2,79	-2,695	-2,920	-2,780
$\text{K}_2\text{O}$	-1,882	-0,414	1,983	-1,575	-0,848
$\text{MgO}$	-1,536	-2,46	-2,432	-1,883	-2,422

<b>TiO<sub>2</sub></b>	0,630	0,870	1,636	0,655	2,540
<b>P<sub>2</sub>O<sub>5</sub></b>	-1,020	-1,052	-1,080	-1,081	-1,070
<b>MnO</b>	-0,122	-0,140	-0,147	-0,133	-0,130

با توجه به وضعیت غنی‌شدگی و یا انحلال عناصر  $(Fe_2O_3)Fe$ ,  $(SiO_2)Si$ ,  $(Al_2O_3)Al$  در افقهای مختلف بوکسیتی و مقایسه آنها با هم، تغییرات Eh را می‌توان مهمترین عامل تغییرات این عناصر در نظر گرفت [18] (شکل 7). با در نظر گرفتن این مسئله و نحوه قرارگیری این افقها، می‌توان تغییرات Eh آبهای فرو رو را در گستره  $+0,6$  تا  $+0,1$  در طول تشکیل این نهشته محتمل دانست. با مقایسه تغییرات جرم  $SiO_2$  با  $Al_2O_3$  می‌توان احتمال داد که pH آبهای فرو رو در طول تشکیل افق بوکسیتی قپی در حدود 6 تا 8 بوده که باعث انحلال  $SiO_2$  و بر جا گذاشتن  $Al_2O_3$  شده است (شکل 8) [13].



شکل 7 نقش pH و Eh در تشکیل بوکسیت‌ها با توجه به تحرک عناصر [18].



شکل 8 حلایت  $\text{Al}(\text{OH})_3$  و  $\text{SiO}_2$  به عنوان تابعی از  $\text{pH}$  در  $25^\circ\text{C}$ . [13]

#### برداشت

وقفه رسوبی پرمین فوکانی تا تربیاس باعث شده تا فرآیندهای هوازدگی بر سنگهای دیبازی تأثیر گذاشته و تناوب رسوبی غنی از آلمینیوم و آهن در منطقه تشکیل شود. در طول عملکرد فرآیندهای سوپرژن از کلوئید اولیه، کلوئیدهایی از نوع سیدروژل، آلوموزل و آلوموسیدروژل تشکیل شده است. این کلوئیدها بهدلیل عدم وجود هسته‌های مناسب و همگن بودن، خود باعث تشکیل بافت‌های پلیتومورفیک، کلوفرمی، پورفیری دروغین و جریانی شده‌اند. تأثیر فرآیندهای تکتونیکی بر این نهشته باعث ایجاد بافت برشی دروغین شده است. بررسیهای کانی‌شناسی حکایت از تأثیر شدید فرآیندهای سوپرژن در تشکیل این نهشته دارد. محاسبات تغییرات جرم، مشخص کرد که عناصر Fe و Ti و Al ضمن فرآیندهای بوکسیت‌زایی بی‌تحرک بوده‌اند و به صورت بازماند (residual) (غنى شده‌اند، به‌طوریکه Fe در درون خود سیستم بوکسیتی تغییرات جرم شدیدی نشان می‌دهد. عناصر Ca، Na، K، P، Mn و Mg از محیط خارج شده و کاهش جرم نشان می‌دهند. تغییر جرم کل در لایه بوکسیت کلوئیدی  $\text{MC} = -0,01\%$ ، در لایه بوکسیت سرخ  $\text{MC} = -7,19\%$ ، در لایه بوکسیت پلیتومورفیک  $\text{MC} = -18,71\%$ ، در لایه بوکسیت سرخ قهوه‌ای  $\text{MC} = -7\%$  و در لایه بوکسیت کرم مایل به سبز این مقدار برابر  $-30,79\%$  است. با توجه به مطالعات صحرایی، سنگ‌شناختی و زمین‌شیمیایی، عامل اصلی تشکیل افقهای مختلف بوکسیت قبی تغییرات Eh

آبهای فرورو و pH مناسب (6 تا 8) از یک ژل اولیه همگن بوده و می‌توان این نهشته را در رده ذخایر بوکسیت کارستی مدیترانه‌ای قرار داد.

#### تشکر و قدردانی

این مقاله برگرفته از رساله کارشناسی ارشد نویسنده دوم است که از سوی معاونت تحصیلات تکمیلی دانشگاه تبریز حمایت مالی شده است. از اظهار نظرهای سازنده داوران محترم مجله بلورشناسی و کانی‌شناسی ایران تشکر می‌کنیم.

#### مراجع:

- [1] عابدینی علی، بررسی زمین‌شناسی اقتصادی نهشته‌های بوکسیت - لاتریت غرب‌میاندوآب، رساله کارشناسی ارشد زمین‌شناسی اقتصادی دانشگاه تبریز [1381].
- [2] Bardossy G.Y., *Karst Bauxites (bauxite deposits on carbonate rock)*, Elsevier Scientific, Amsterdam [1982].
- [3] Boulange B., *Les formation bauxitiques lateritiques de Cote d' Irvore*, Travaux et documents d' ORSTOM, Paris, **175** [1984] 341.
- [4] Bardossy G.Y., Aleva G.Y.Y., *Lateritic Bauxites*, Akademia, Kiado Budapest [1990].
- [5] Nia R., *Geologische, geochemische Untersuchungen Zum problem der Boehmite- Diaspore Genese in griechischen Oberkeide- Bauxiten der Parnass-Kiado- Zone*, Thesis Univ. of Hamburg [1968].
- [6] Dana D., Cornelis K., Cornelius H., *Manual of mineralogy*, John Wiley and Sons [1985].
- [7] MacLean W.H., Kranidiotis P., *Immobile elements as monitors of mass transfer in hydrothermal alteration: Phelps Dodge massive sulfide deposit*, Matagami, Quebec, Economic Geology, **82** [1987] 951-962.
- [8] Valeton I., *Bauxites*, Elsevier, Amsterdam [1972].
- [9] Schroll E., Sauer D., *Beitrag zur geochemie von Titan, Chrom, Nikel, Cobalt, Vanadium und Molibdan in bauxitischen Gestemen und problem der stofflichen Herkunft des Aluminiums*, Travaux de ICSOBA, Zagreb, **5** [1968] 83-96.
- [10] Ozlu N., *Trace – element contents of “ Karst Bauxites ” and their parent rocks in the Mediterranean Belt*, Mineralium Deposita, **18** [1983] 469-476.

- [11] Shaw D.M., *Interpretation geo chimique des éléments en traces dans les roches cristallines*, Masson et cie. Paris [1964].
- [12] Valetton I., Biermann M., Rosenberg F., *Genesis of nikel laterites and bauxites in Greece during the Jurassic and Cretaceous, and their relation to ultrabasic parent rocks*, Ore Geol Rev., **2** [1987] 359-404.
- [13] Mason B., Moore C.B., *Principles of geochemistry*, John Wiley&Sons [1982].
- [14] Rollinson H., *Using geochemical data: evaluation, presentation, interpretation*, Longman Scientific and Technical [1993].
- [15] MacLean W.H., Kranidiotis P., *Immobile elements as monitors of mass transfer in hydrothermal alteration: Phelps Dodge massive sulfide deposit*, Matagami, Quebec, Economic Geology, **82** [1987] 951-962.
- [16] MacLean W.H., *Mass change calculations in altered rock series*, Mineralium Deposita, **25** [1990] 44-49.
- [17] MacLean W.H., Bonavia F.F., Sanna G., *Argillite debris converted to bauxite during karst weathering: evidence from immobile element geochemistry at the Olmedo Deposit, Sardinia*, Mineralium Deposita, **32** [1997] 607-616.
- [18] Norton S.A., *Laterite and bauxite formation*, Econ. Geol., **68** [1973] 353-361.

## پیوست 1

## معادلات استخراج گردیده جهت محاسبه نورم کانیها

$$KLN = 2.151 R. SiO_2$$

$$H_{KLN} = 0.301 R. SiO_2$$

$$A_{KLN} = 0.850 R. SiO_2$$

$$S_{KLN} = 1.000 R. SiO_2$$

$$PRL = 1.5 R. SiO_2$$

$H_{PRL} = 0.000$   
 $A_{PRL} = 0.424 R. SiO_2$   
 $S_{PRL} = 1.000 R. SiO_2$   
 $MS = 2.282 R. SiO_2$   
 $H_{MS} = 0.010 R. SiO_2$   
 $A_{MS} = 0.848 R. SiO_2$   
 $S_{MS} = 1.000 R. SiO_2$   
 $KPT = 1.849 R. SiO_2$   
 $H_{KPT} = 0.000$   
 $A_{KPT} = 0.848 R. SiO_2$   
 $S_{KPT} = 1.000 R. SiO_2$   
 $A' = A - (A_{KLN} + A_{PRL} + A_{MS} + H_{KPT})$   
 $H' = H - (H_{KLN} + H_{PRL} + H_{MS} + H_{KPT})$   
 $H' = 0.176 A_{DSP}$   
 $A' = A_{DSP}$   
 $DSP = 1.176 A'$   
 $QTZ = T_{SiO_2} - (S_{KLN} + S_{PRL} + S_{MS} + S_{KPT})$

- [1] عابدینی علی، بررسی زمین شناسی اقتصادی نهشته های بوکسیت - لاتریت غرب میاندوآب، رساله کارشناسی ارشد زمین شناسی اقتصادی دانشگاه تبریز [1381].
- [2] Bardossy G.Y., *Karst Bauxites (bauxite deposits on carbonate rock)*, Elsevier Scientific, Amsterdam, [1982].
- [3] Bardossy G.Y., Aleva G.Y.Y., *Lateritic Bauxites*, Akademia, Kiado Budapest, [1990].
- [4] Boulange B., *Les formation bauxitiques lateritiques de Cote d' Irvore*, Travaux et documents d' ORSTOM, Paris, **175** [1984] 341.
- [5] Dana D., Cornelis K., Cornelius H., *Manual of mineralogy*, John Wiley and Sons, [1985].
- [6] Kretz R., *Symbols for rock- forming minerals*, American Mineralogist, **68** [1983] 277-279.
- [7] MacLean W.H., Kranidiotis P., *Immobile elements as monitors of mass transfer in hydrothermal alteration: Phelps Dodge massive sulfide deposit*, Matagami, Quebec, Economic Geology, **82** [1987] 951-962.
- [8] MacLean W.H., *Mass change calculations in altered rock series*, Mineralium Deposita, **25** [1990] 44-49.
- [9] MacLean W.H., Bonavia F.F., Sanna G., *Argillite debris converted to bauxite during karst weathering: evidence from immobile element geochemistry at the Olmedo Deposit, Sardinia*, Mineralium Deposita, **32** [1997] 607-616.
- [10] Mason B., Moore C.B., *Principles of geochemistry*, John Wiley&Sons [1982].
- [11] Nia R., *Geologische, geochemische Untersuchungen Zum problem der Boehmite- Diaspore Genese in griechischen Oberkeide- Bauxiten der Parnass-Kiado- Zone*, Thesis Univ. of Hamburg [1968].
- [12] Norton S.A., *Laterite and bauxite formation*, Econ. Geol., **68** [1973] 353-361.
- [13] Ozlu N., *Trace – element contents of “ Karst Bauxites ” and their parent rocks in the Mediterranean Belt*, Mineralium Deposita, **18** [1983] 469-476.
- [14] Rollinson H., *Using geochemical data: evaluation, presentation, interpretation*, Longman Scientific and Technical [1993].
- [15] Schroll E., Sauer D., *Beitrag zur geochemie von Titan, Chrom, Nikel, Cobalt, Vanadium und Molibdan in bauxitischen Gestemen und problem der*

*stofflichen Herkunft des Aluminiums*, Travaux de ICSOBA, Zagreb, **5** [1968] 83-96.

[16] Shaw D.M., *Interpretation geochemique des éléments en traces dans les roches cristallines*, Masson et cie. Paris [1964].

[17] Valeton I., *Bauxites*, Elsevier, Amsterdam [1972].

[18] Valeton I., Biermann M., Rosenberg F., *Genesis of nikel laterites and bauxites in Greece during the Jurassic and Cretaceous, and their relation to ultrabasic parent rocks*, Ore Geol Rev., **2** [1987] 359-404.